

УДК 621.372.82

В.В. Щербинин

Метод физической оптики в задаче о поле излучения волновода с импедансным фланцем

Введение. Невыступающие волноводные излучатели в виде открытого конца волновода с фланцем получили широкое практическое применение в технике СВЧ. Это делает актуальной разработку методов расчета их электродинамических характеристик. Для волноводных антенн с идеально проводящим фланцем такие методы развиты достаточно хорошо, однако приближение идеально проводящего фланца в ряде случаев неприменимо. Учет конечной проводимости фланца может быть произведен с использованием модели импедансного фланца.

Важнейшая характеристика любой антенны – это диаграмма направленности излучения. Расчет характеристик поля излучения волновода с импедансным фланцем методом моментов произведен в работах [1, 2]. Однако метод моментов во-первых, не является универсальным и для каждой конфигурации волновода решение необходимо проводить заново; во-вторых объемы математических выкладок и численных расчетов при его использовании довольно велики, что не всегда удобно на практике. Представляется актуальной разработка более универсального приближенного метода расчета характеристик поля излучения волноводной антенны с импедансным фланцем.

Постановка задачи. Геометрия задачи изображена на рисунке 1. В координатной области $z < 0$ расположен невыступающий полубесконечный цилиндрический волновод произвольного поперечного сечения, ось которого совпадает с осью z . Стенки волновода являются идеально проводящими. Волновод заполнен однородным диэлектриком без потерь с диэлектрической проницаемостью ϵ и магнитной проницаемостью μ .

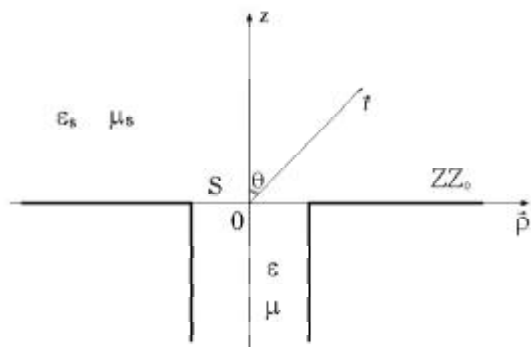


Рис. 1. Геометрия задачи

Раскрыв волновода S расположен на бесконечном фланце в плоскости $z = 0$. Фланец характеризуется постоянным сторонним импедансом

ZZ_0 , где $Z_0 = \sqrt{\mu_0 / \epsilon_0}$ – импеданс свободного пространства; ϵ_0 и μ_0 – диэлектрическая и магнитная проницаемости свободного пространства соответственно.

Полупространство $z > 0$ заполнено однородным идеальным диэлектриком, характеризующимся диэлектрической проницаемостью ϵ_s и магнитной проницаемостью μ_s .

Волновод возбуждается электромагнитной волной основного типа единичной амплитуды, набегающей на раскрыв S вдоль оси z . Волновой процесс является гармоническим во времени с круговой частотой ω . Зависимость от времени определяется как $e^{-i\omega t}$. Решение задачи проводится в системе единиц СИ.

Требуется определить характеристики поля, излучаемого этой антенной в полупространство $z > 0$ – диаграмму направленности по полю для волн обеих поляризаций, а также мощность излучения антенны.

Нахождение плотности потока энергии в дальней зоне. Поля в верхнем полупространстве могут быть записаны с помощью двух скалярных компонент векторных электромагнитных потенциалов в форме интегралов Фурье:

$$A_z^{e,m}(\vec{\rho}, z) = \frac{1}{(2\pi)^2} \int_{-\infty}^{+\infty} a^{e,m}(\vec{\xi}) e^{i\vec{\xi}\vec{\rho} + iW_s z} d\vec{\xi}, \quad (1)$$

здесь $a^e(\vec{\xi})$ и $a^m(\vec{\xi})$ – неизвестные спектральные функции; $W_s = \sqrt{k_s^2 - \xi^2}$; $k_s = k_0 \sqrt{\epsilon_s \mu_s}$.

Решение поставленной задачи связано с удовлетворением в плоскости фланца $z = 0$ граничных условий сшивания касательных составляющих полей на раскрытии волновода и граничных условий импедансного типа вне раскрытия. В работе [1] предложено использовать граничные условия в виде линейной комбинации:

$$\begin{aligned} \vec{E}_t(\vec{\rho}, +0) - ZZ_0 \vec{u} \times \vec{H}_t(\vec{\rho}, +0) &= \vec{F}(\vec{\rho}), \quad \forall \vec{\rho}; \\ \vec{H}_t(\vec{\rho}, +0) &= \vec{H}_t(\vec{\rho}, -0), \quad \vec{\rho} \in S, \end{aligned} \quad (2)$$

где $\vec{F}(\vec{\rho})$ – вспомогательная финитная функция вида:

$$0, \quad \vec{\rho} \in S; \\ \vec{E}_t(\vec{\rho}, -0) - ZZ_0 \vec{u} \times \vec{H}_t(\vec{\rho}, -0), \quad \vec{\rho} \notin S. \quad (3)$$

Использование формулы связи касательных компонент электромагнитного поля с компонентами векторных потенциалов и первого из граничных условий (2) позволяет выразить спектральные функции $a^{e,m}(\vec{\xi})$ через f_ξ и f_ψ – проекции фурье-трансформанты вспомогательной функции $\vec{F}(\vec{\rho})$ на оси полярной системы координат пространства волновых чисел $\{\xi, \psi\}$:

$$a^e(\vec{\xi}) = \frac{1}{Z_0} \frac{ik_s}{W_s Z_s + k_s Z} \frac{f_\xi(\vec{\xi})}{\xi}, \\ a^m(\vec{\xi}) = -\frac{ik_s Z_s}{k_s Z_s + W_s Z} \frac{f_\psi(\vec{\xi})}{\xi}, \quad (4)$$

где $Z_s = \sqrt{\mu_s / \epsilon_s}$ – импеданс диэлектрического заполнения полупространства $z > 0$, нормированный на импеданс свободного пространства Z_0 .

Подставляя найденные спектральные функции в формулы (1), можно преобразовать выражения для z -компонент векторных потенциалов к виду:

$$A_z^e(\rho, \varphi, z) = \\ = \frac{ik_s}{(2\pi)^2 Z_0} \int_0^{2\pi} \int_0^\infty \frac{f_\xi(\xi, \psi)}{W_s Z_s + k_s Z} e^{i\xi \rho \cos(\psi - \varphi) + iW_s z} d\xi d\psi; \\ A_z^m(\rho, \varphi, z) = \\ = -\frac{ik_s Z_s}{(2\pi)^2} \int_0^{2\pi} \int_0^\infty \frac{f_\psi(\xi, \psi)}{k_s Z_s + W_s Z} e^{i\xi \rho \cos(\psi - \varphi) + iW_s z} d\xi d\psi. \quad (5)$$

Функции $f_\xi(\xi, \psi)$ и $f_\psi(\xi, \psi)$ являются периодическими по углу ψ и могут быть разложены в ряды следующим образом:

$$f_\xi(\xi, \psi) = \sum_{n=-\infty}^{+\infty} b_n^{(1)}(\xi) e^{in\psi}; \quad b_n^{(1)}(\xi) = \\ = \frac{1}{2\pi} \int_0^{2\pi} f_\xi(\xi, \psi) e^{-in\psi} d\psi; \\ f_\psi(\xi, \psi) = \sum_{n=-\infty}^{+\infty} b_n^{(2)}(\xi) e^{in\psi}; \quad b_n^{(2)}(\xi) = \\ = \frac{1}{2\pi} \int_0^{2\pi} f_\psi(\xi, \psi) e^{-in\psi} d\psi. \quad (6)$$

Подставляя эти разложения в уравнения (5) и используя свойства цилиндрических функций,

можно преобразовать интегралы (5) к симметричным пределам:

$$A_z^e(\rho, \varphi, z) = \\ = \frac{\pi ik_s}{(2\pi)^2 Z_0} \sum_{n=-\infty}^{+\infty} i^n e^{in\varphi} \int_{-\infty}^{+\infty} b_n^{(1)}(\xi) H_n^{(1)}(\xi \rho) \frac{e^{iW_s z}}{W_s Z_s + k_s Z} d\xi; \\ A_z^m(\rho, \varphi, z) = \\ = -\frac{\pi ik_s Z_s}{(2\pi)^2} \sum_{n=-\infty}^{+\infty} i^n e^{in\varphi} \int_{-\infty}^{+\infty} b_n^{(2)}(\xi) H_n^{(1)}(\xi \rho) \frac{e^{iW_s z}}{k_s Z_s + W_s Z} d\xi. \quad (7)$$

Поскольку в рамках поставленной задачи интерес представляет только поле излучения в дальней зоне ($\rho \rightarrow \infty$), то функции Ханкеля можно заменить их асимптотическими представлениями. Сворачивая ряды по формулам (6), можно преобразовать выражения для скалярных компонент потенциалов к виду:

$$A_z^e(\rho, \varphi, z) = \\ = \frac{\pi ik_s}{(2\pi)^2 Z_0} e^{-\frac{i\pi}{4}} \sqrt{\frac{2}{\pi \rho}} \int_{-\infty}^{+\infty} \frac{f_\xi(\xi, \psi)}{W_s Z_s + k_s Z} e^{i\xi \rho + iW_s z} \frac{d\xi}{\sqrt{\xi}}; \\ A_z^m(\rho, \varphi, z) = \\ = -\frac{\pi ik_s Z_s}{(2\pi)^2} e^{-\frac{i\pi}{4}} \sqrt{\frac{2}{\pi \rho}} \int_{-\infty}^{+\infty} \frac{f_\psi(\xi, \psi)}{W_s Z_s + k_s Z} e^{i\xi \rho + iW_s z} \frac{d\xi}{\sqrt{\xi}}. \quad (8)$$

Поскольку угловые зависимости поля излучения удобно рассматривать в сферической системе координат, необходимо в выражениях (8) перейти к ней, выполнив замену переменных $\xi = k_s \sin \alpha$; $W_s = k_s \cos \alpha$; $d\xi = k_s \cos \alpha d\alpha$. Применяя к оценке полученных интегралов метод перевала [4] и пренебрегая в дальней зоне слагаемыми малости выше $1/r$, можно найти компоненты поля в виде сферических волн. Для вертикальной поляризации ненулевой компонентой электрического поля является:

$$E_\theta^e = -\frac{ik_s Z_s}{2\pi} \frac{f_\xi(k_s \sin \theta, \varphi)}{Z_s \cos \theta + Z} \cos \theta \frac{e^{ik_s r}}{r}, \quad (9)$$

а для горизонтальной:

$$E_\varphi^e = -\frac{ik_s Z_s}{2\pi} \frac{f_\psi(k_s \sin \theta, \varphi)}{Z_s + Z \cos \theta} \cos \theta \frac{e^{ik_s r}}{r}. \quad (10)$$

Полученные выражения для компонент поля являются строгими и позволяют найти точное решение поставленной задачи в том случае, если известен вид функции $\vec{f}(\xi, \psi)$.

Нахождение приближенного решения. Как показано в работах [1, 4], нахождение явного вида функции $\vec{F}(\vec{\rho})$ представляет собой сложную са-

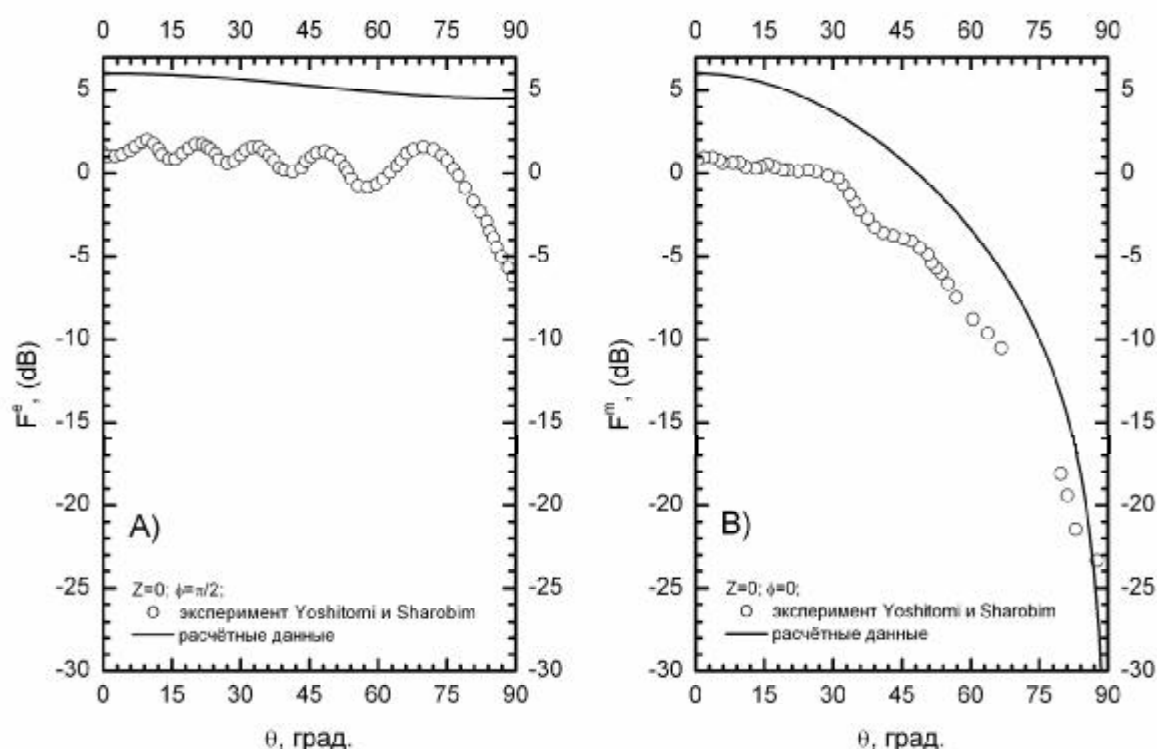


Рис. 2. Диаграмма направленности излучения прямоугольного волновода с идеально проводящим фланцем: А – вертикальная поляризация; В – горизонтальная поляризация

мостоятельную задачу, решение которой в замкнутой форме до настоящего времени не найдено. Это обстоятельство вынуждает использовать для нахождения вида функции различные приближенные методы.

Наиболее простым является приближение физической оптики. Это приближение состоит в пренебрежении дифракционными эффектами на границах волноводной апертуры. Функция $\vec{F}(\vec{\rho})$ в этом случае может быть приближенно задана в виде распределения касательных компонент электромагнитного поля в поперечном сечении бесконечного волновода. Поскольку возбуждение волновода производится волной основного типа, можно воспользоваться одномодовым приближением:

$$\vec{F}(\vec{\rho}) = A_0 \vec{\phi}_0(\vec{\rho}). \quad (11)$$

Здесь $\vec{\phi}_0(\vec{\rho})$ – волновая функция основной моды; A_0 – неизвестная комплексная амплитуда, которая может быть найдена с помощью вариационного метода, развитого в работах [4, 5].

Таким образом, приближенные выражения для нахождения проекций функции $\vec{f}(\xi, \psi)$ на оси полярной системы координат пространства волновых чисел примут вид:

$$f_\xi(\xi, \psi) = A_0 \Phi_{0\xi}(\xi, \psi), \quad f_\psi(\xi, \psi) = A_0 \Phi_{0\psi}(\xi, \psi),$$

где $\vec{\Phi}_0(\xi, \psi)$ – фурье-трансформанта волновой функции $\vec{\phi}_0(\vec{\rho})$.

Методическая погрешность полученного приближения может быть оценена только путем сравнения численных результатов с экспериментальными данными. Экспериментальные результаты для диаграммы направленности излучения прямоугольного волновода с идеально проводящим и импедансным фланцем опубликованы в работе [2].

Была составлена расчетная программа на алгоритмическом языке FORTRAN 95, вычисляющая функции направленности излучения вертикальной $F^e(\theta, \varphi)$ и горизонтальной $F^m(\theta, \varphi)$ поляризаций прямоугольного волновода с фланцем. Компоненты электрического поля в дальней зоне рассчитываются по формулам (9) и (10). Нормировка осуществляется на постоянное значение

$$E_0 = \left| ik_s \frac{\sqrt{ab}}{\pi^2} \frac{e^{ik_s r}}{r} \right|,$$

где a и b – ширина широкой и узкой стенок волновода соответственно.

Расчет значений комплексной амплитуды A_0 производился по формулам, заимствованным из

работы [5]. Размеры сторон волновода $a = 2.286$ см, $b = 1.016$ см. Волновод не имеет заполнения и излучает в свободное пространство.

Результаты расчетов для случая идеально проводящего фланца представлены на рисунках 2 и 3. Можно заметить, что предложенный метод дает завышенные (на 5 дБ) значения амплитуды поля, хотя форма диаграммы направленности практически соответствует экспериментально найденной. Осцилляции экспериментальной зависимости, хорошо заметные на рисунках, объясняются конечными размерами фланца в реальном эксперименте.

Для импедансного фланца результаты сравнения предложенного теоретического метода с экспериментальными данными работы [2] в целом аналогичны, только расхождение несколько меньше и не превышает 2 дБ.

Таким образом, можно сделать вывод, что предложенный метод может быть использован для расчета диаграммы направленности одиночного волновода с импедансным фланцем в случае нормировки на амплитуду поля в направлении максимума излучения. Расчет мощности излучения требует использования либо более строгих методов расчета, либо многомодового приближения.

Литература

1. Комаров С.А. Излучение из полубесконечного волновода с импедансным фланцем // Известия вузов. Радиоэлектроника. 1976. Т. 16.
2. Yoshitomi K. Radiation from a rectangular waveguide with a lossy flange / K. Yoshitomi, H.R. Sharobim // IEEE Transaction on Antennas and Propagation. 1994. Vol. 42, №10.
3. Комаров С.А. Вариационный принцип в задачах излучения из полубесконечного волновода с импедансным фланцем // Известия вузов. Радиоэлектроника. 1985. Т. 28, №3.
4. Федорюк М.В. Метод перевала. М., 1977.
5. Комаров С.А. Входной адмитанс волновода с импедансным фланцем при излучении в плоско-слоистую среду / С.А. Комаров, В.В. Щербинин // Известия АГУ. 1997. №1.